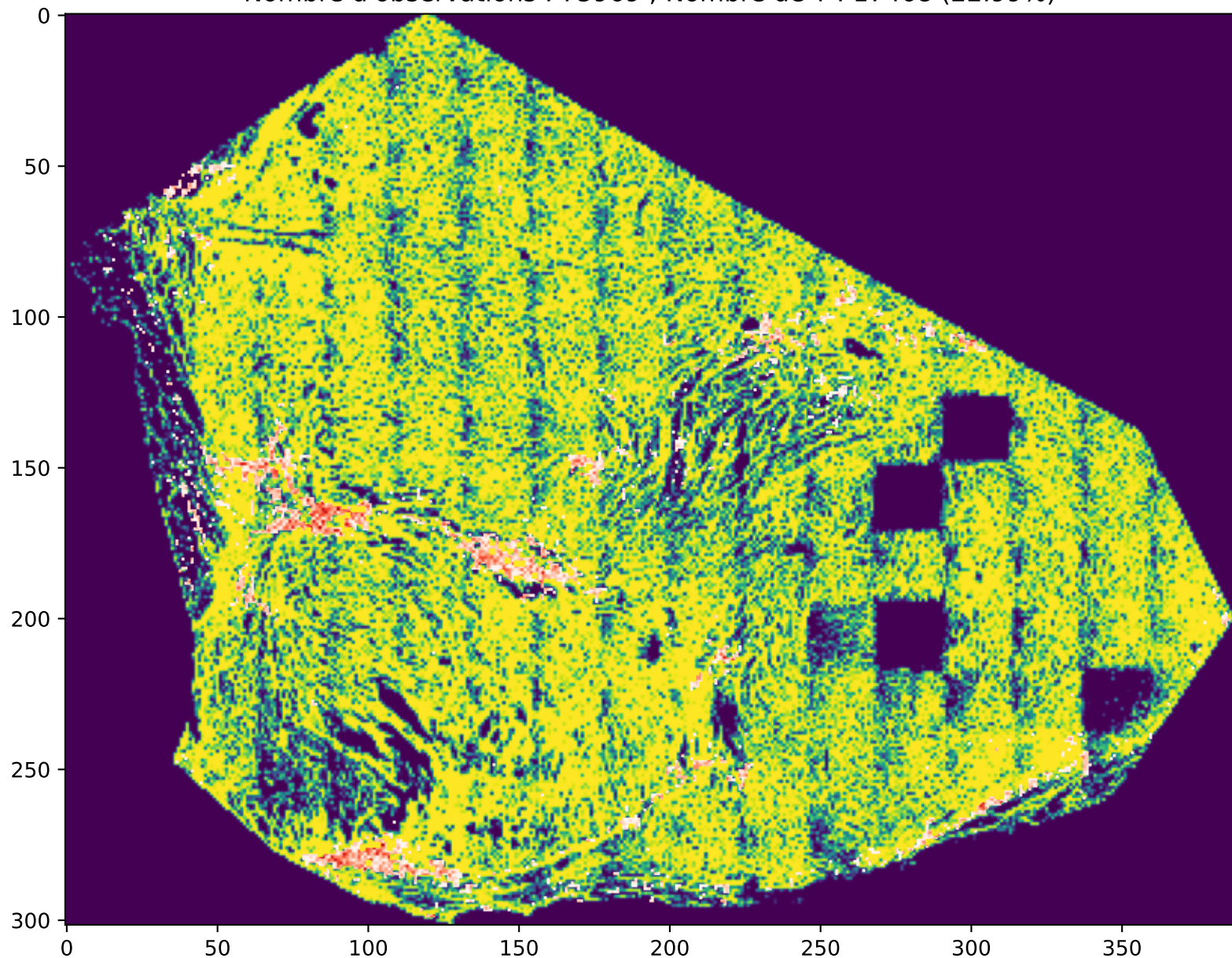
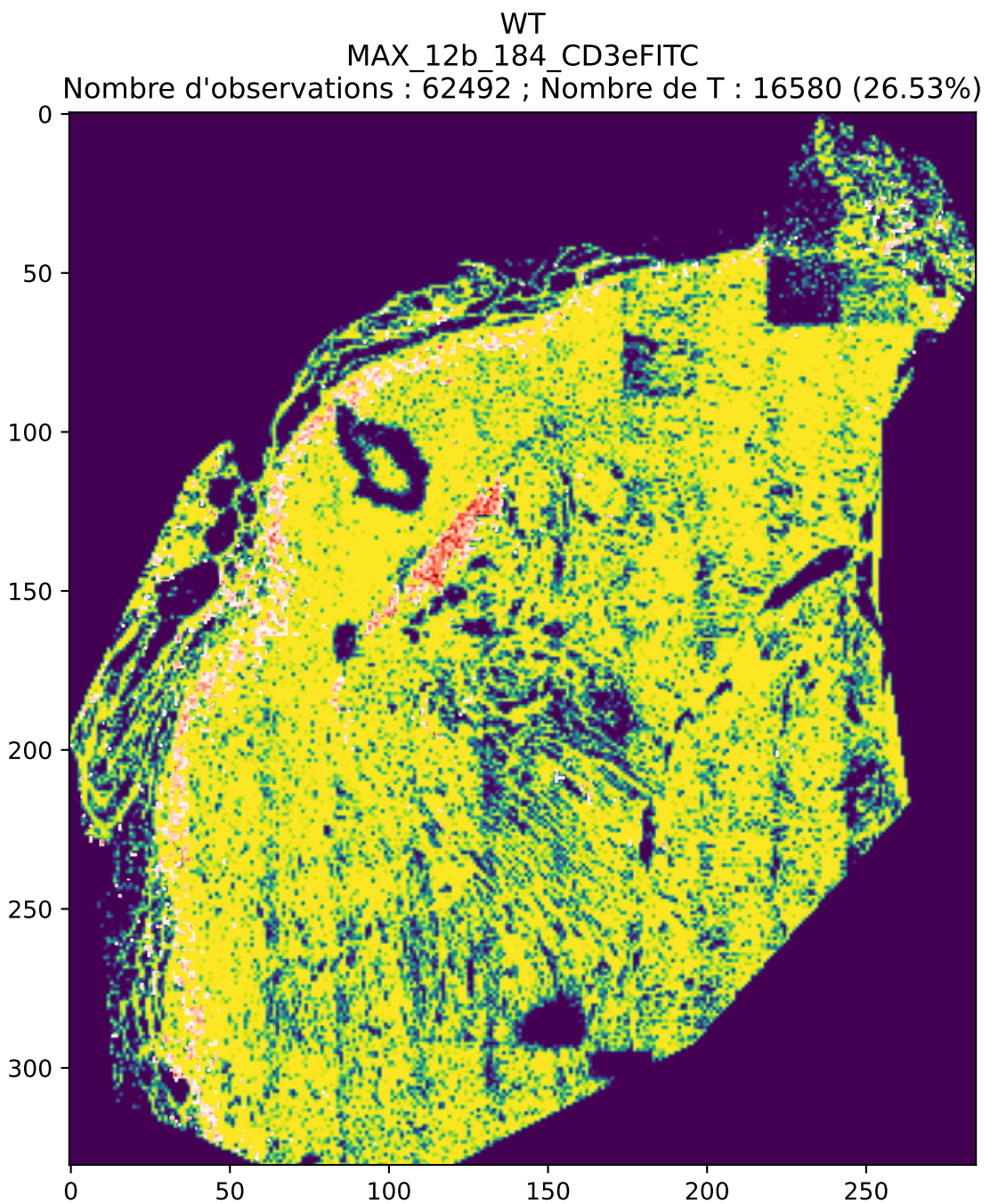
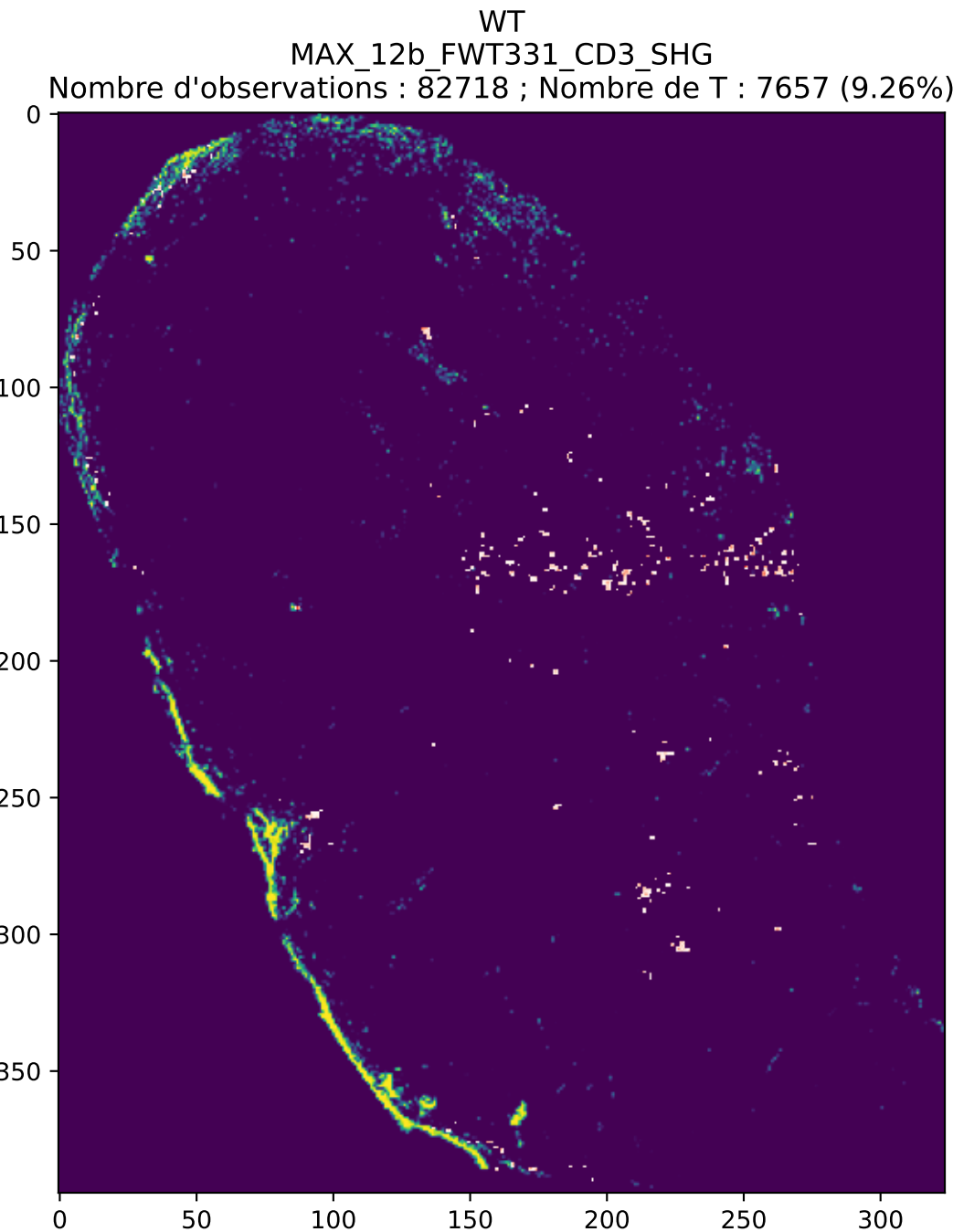


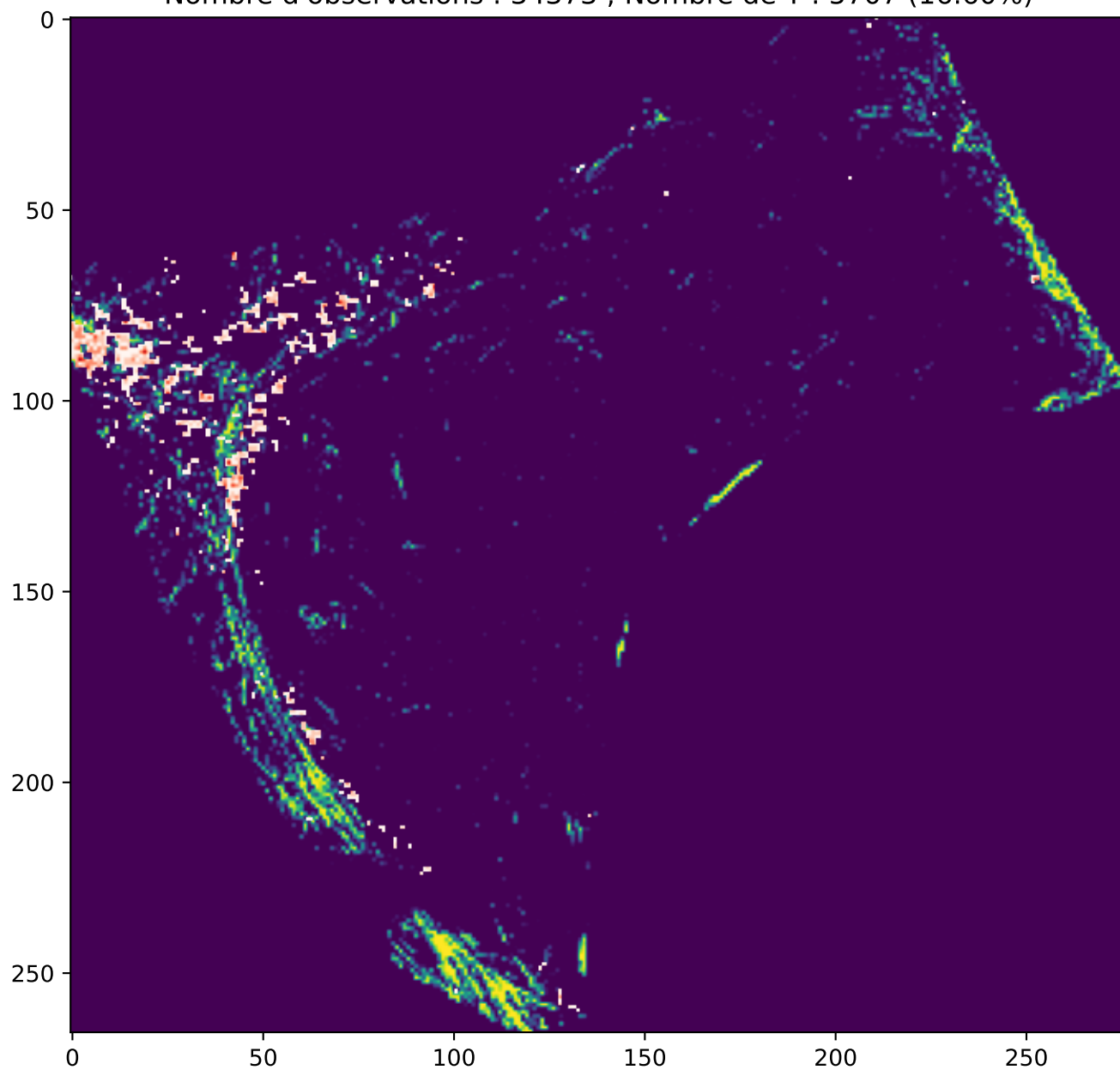
WT
MAX_12b_189_CD3eFITC
Nombre d'observations : 75969 ; Nombre de T : 17468 (22.99%)



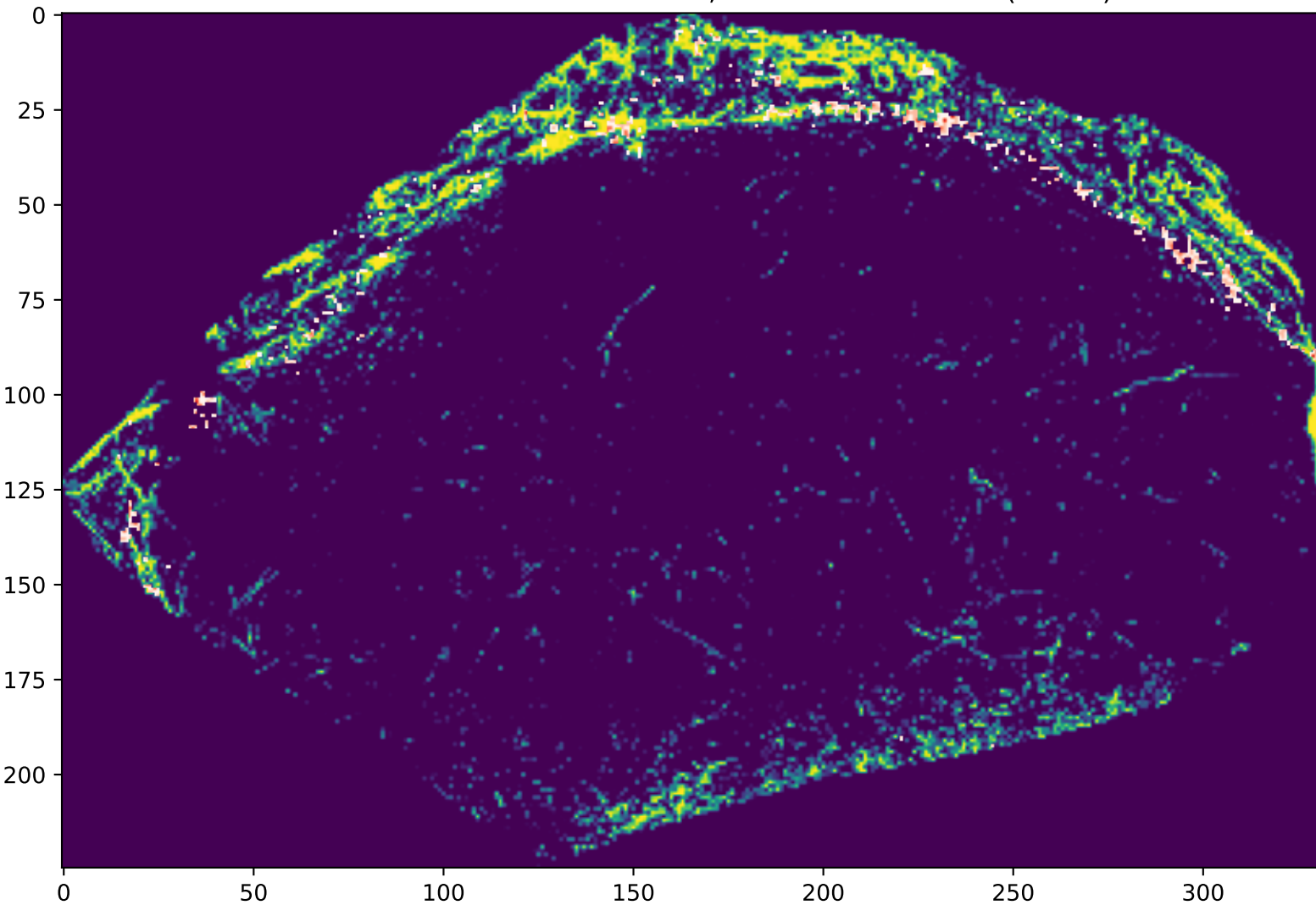




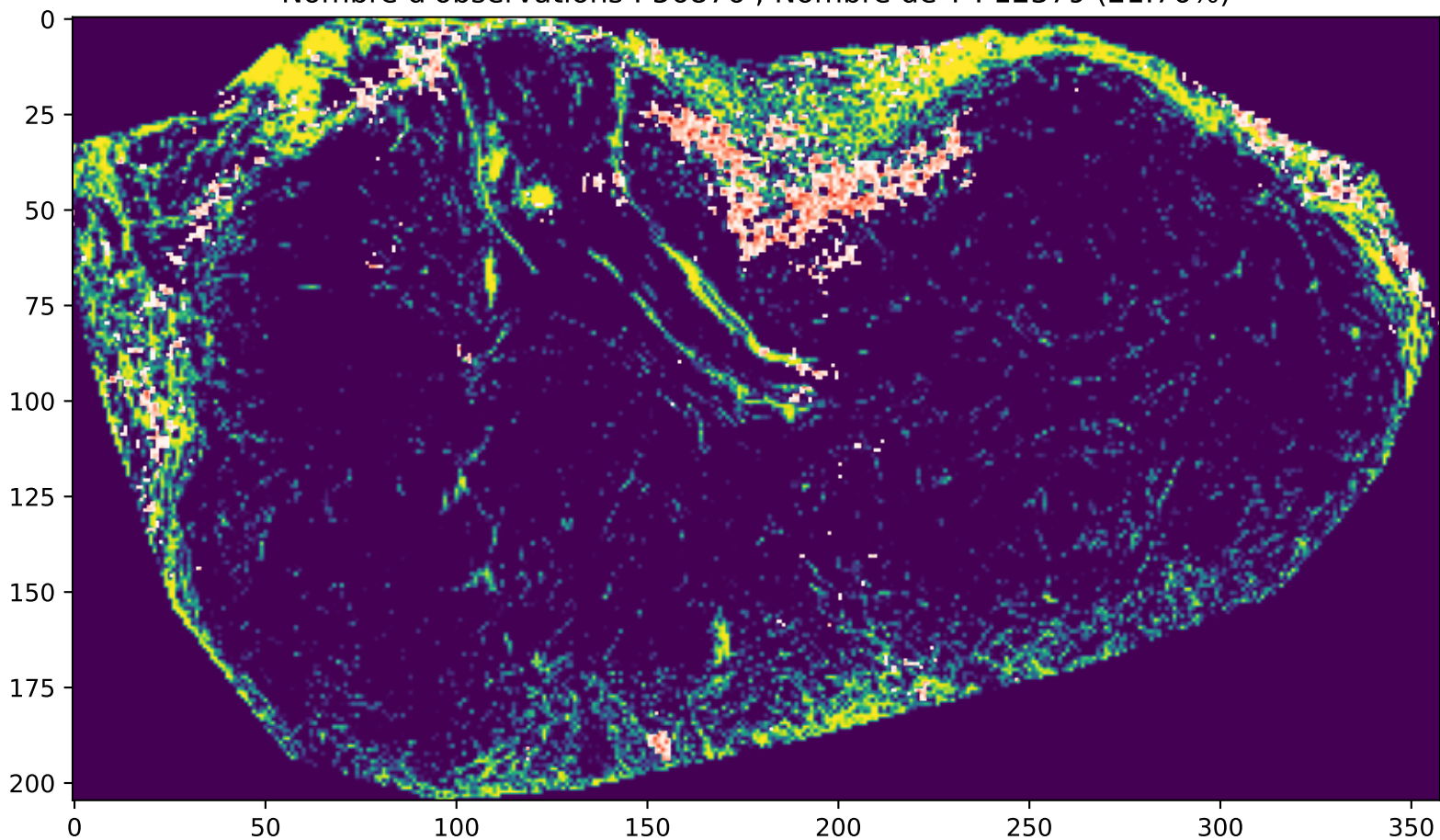
WT
MAX_12b_FWT_333_CD3_SHG
Nombre d'observations : 34373 ; Nombre de T : 5707 (16.60%)



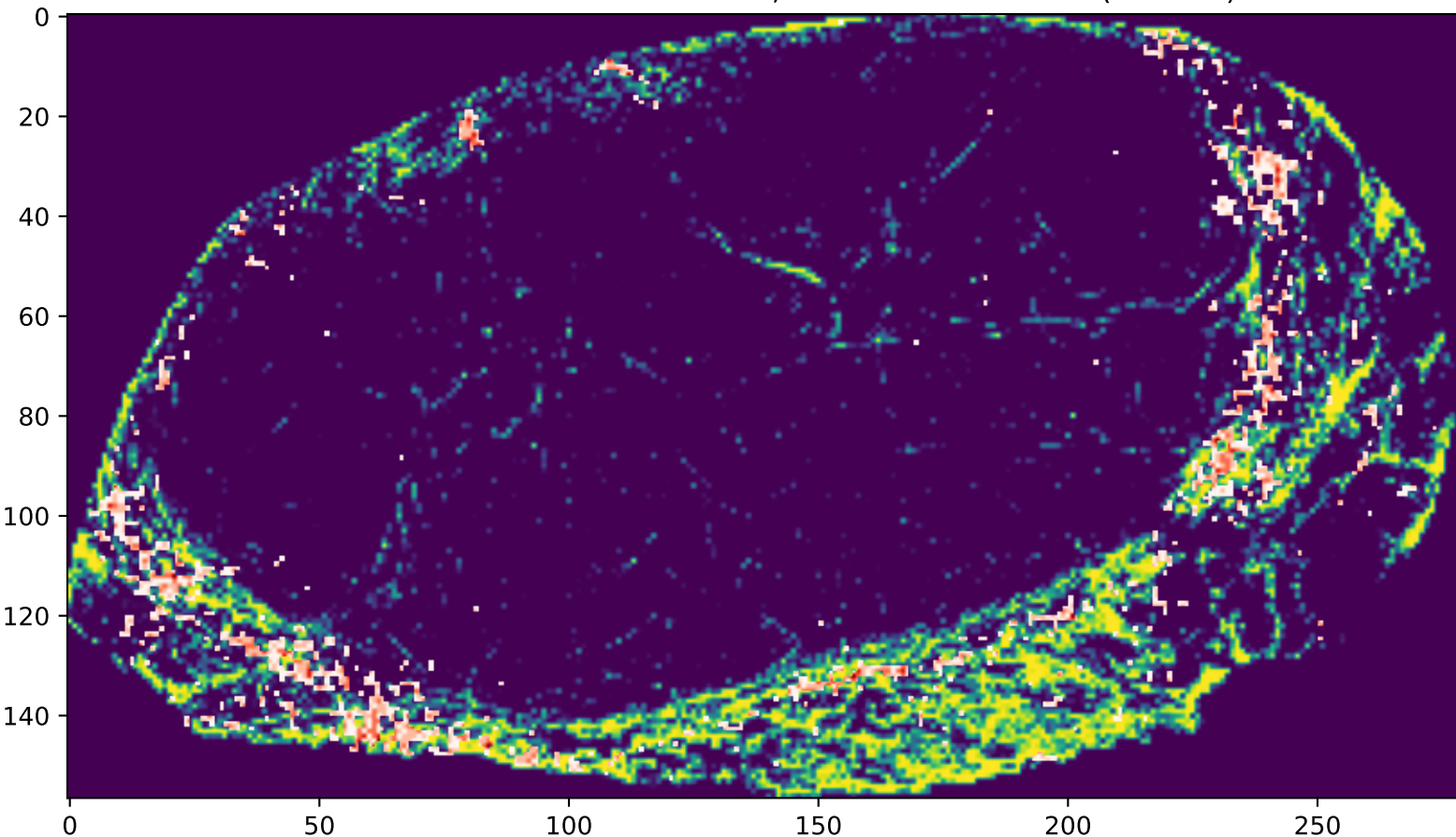
WT
FWT_928_right_CD3FITC
Nombre d'observations : 50588 ; Nombre de T : 4934 (9.75%)



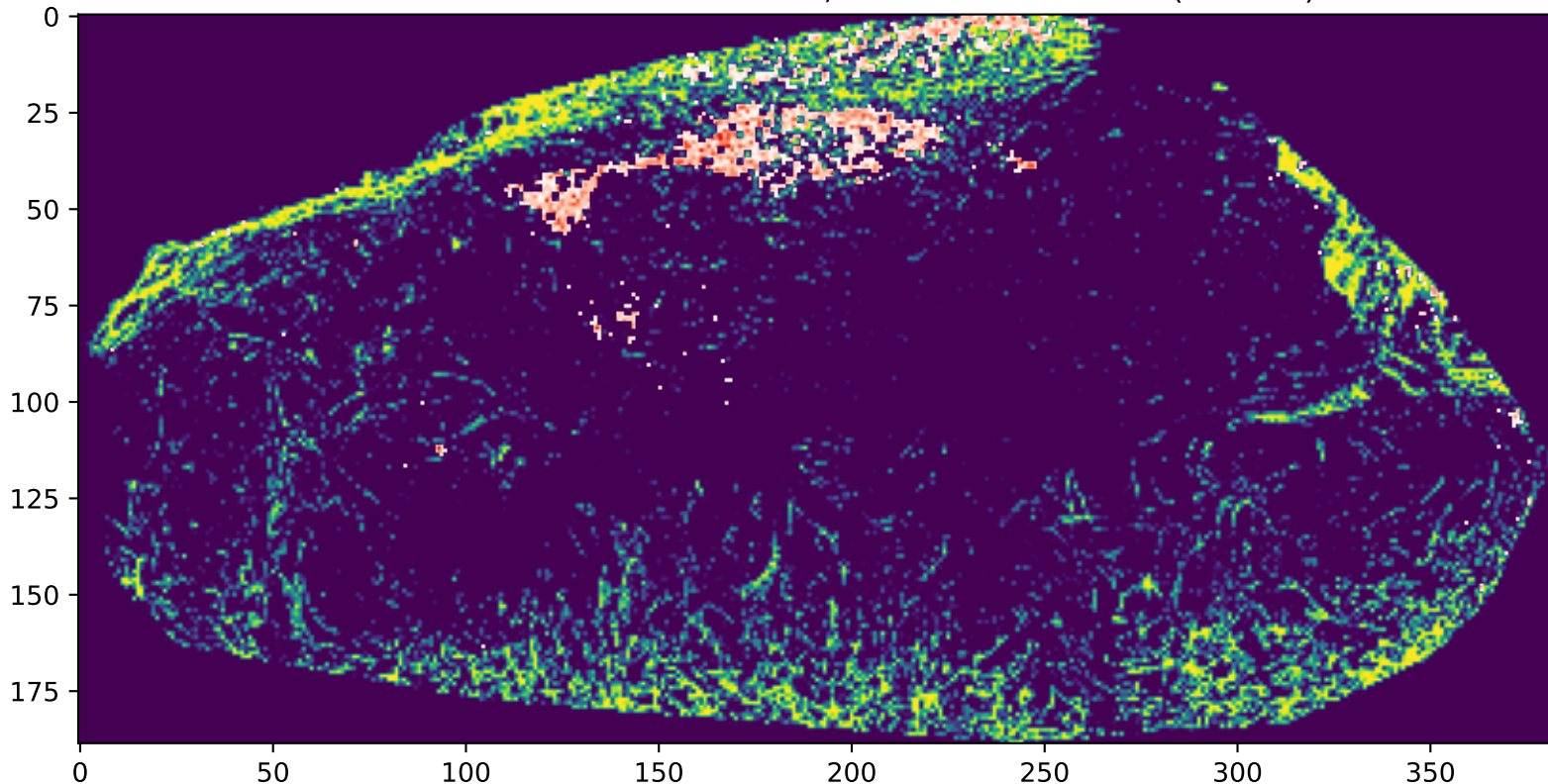
WT
FWT_861_big_CD3FITC
Nombre d'observations : 56876 ; Nombre de T : 12379 (21.76%)

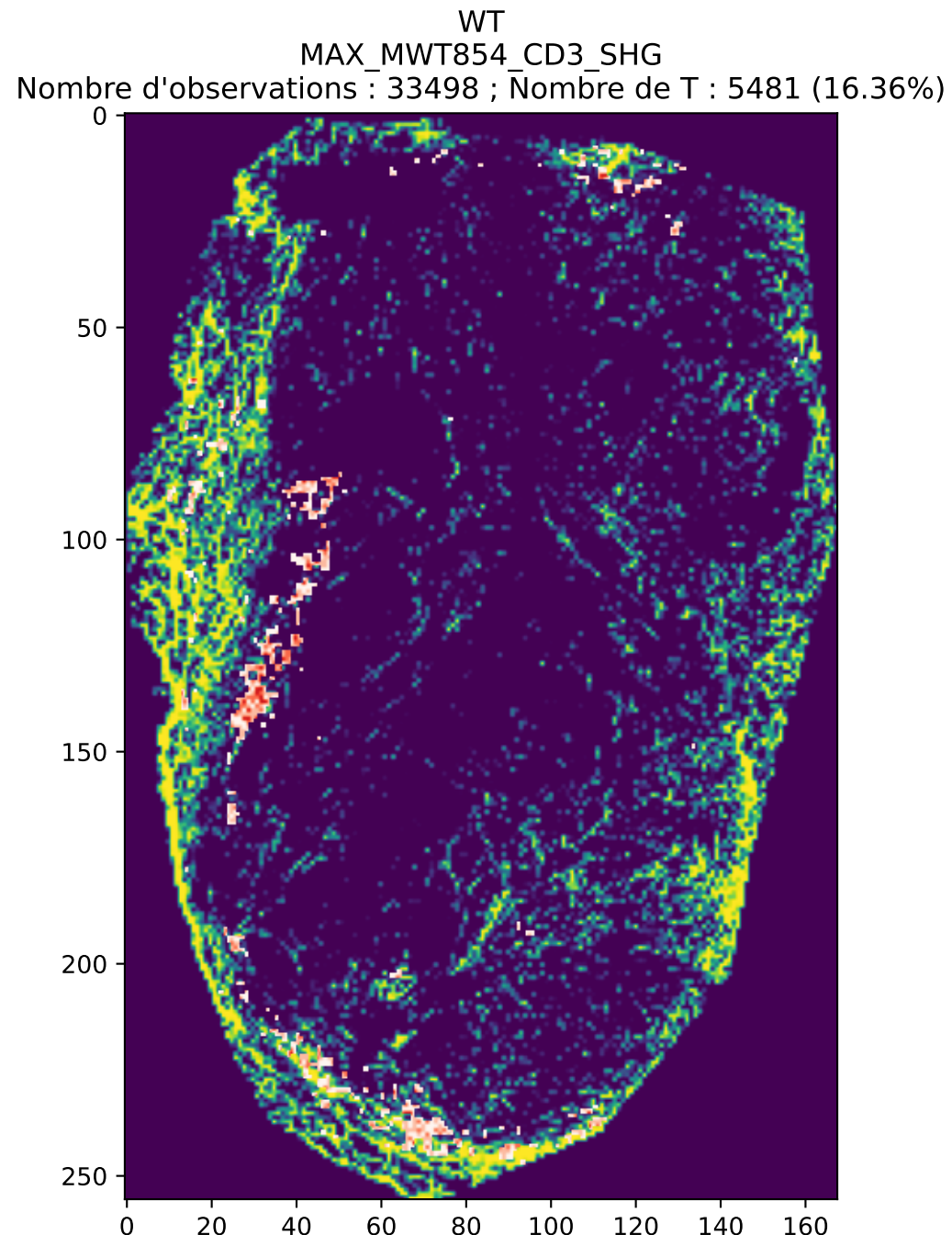


WT
FWT_511_CD3FITC_F480_AF647_Ph1546
Nombre d'observations : 34524 ; Nombre de T : 9538 (27.63%)

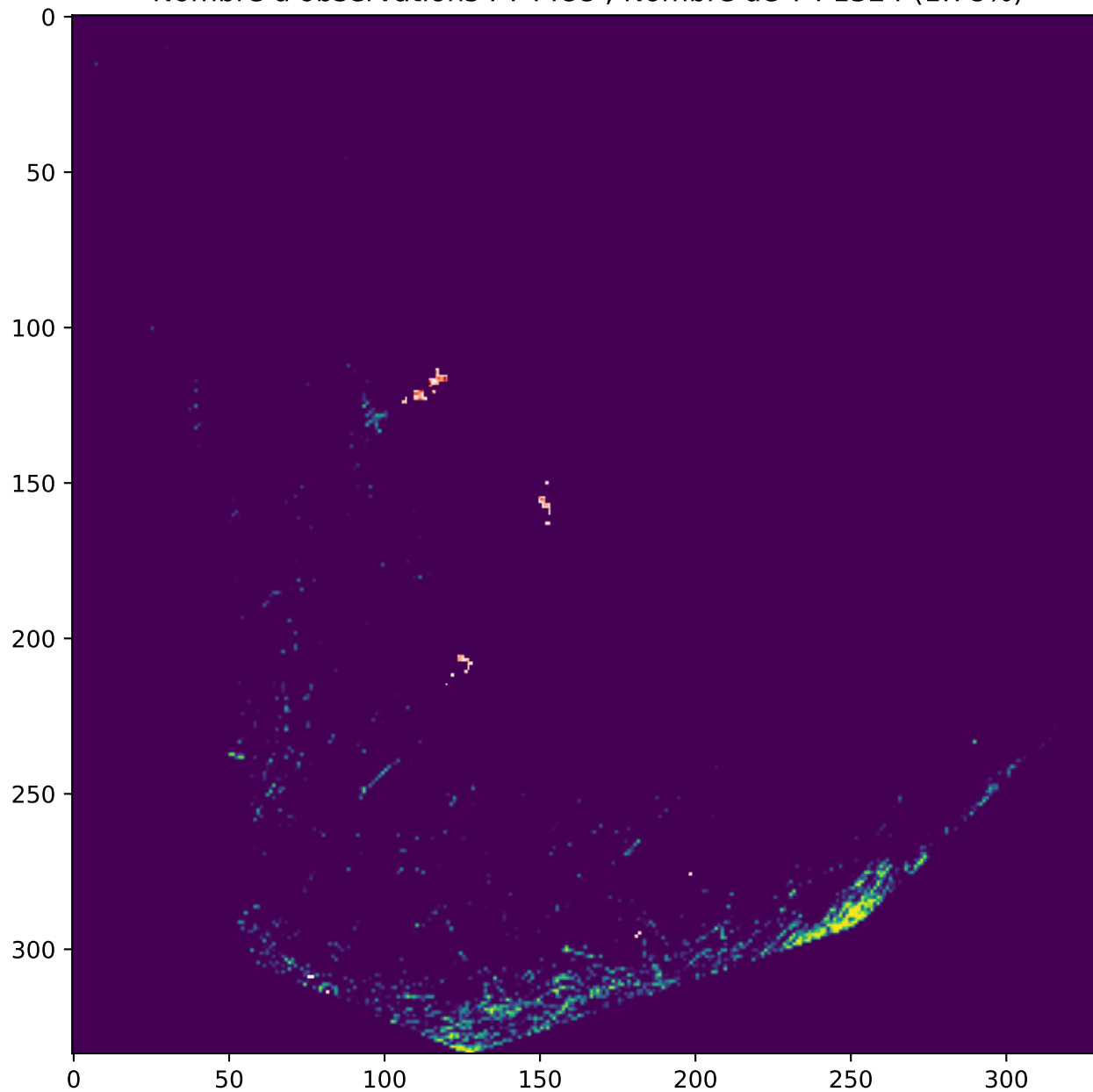


WT
MAX_MWT738_CD3_SHG
Nombre d'observations : 54790 ; Nombre de T : 8757 (15.98%)

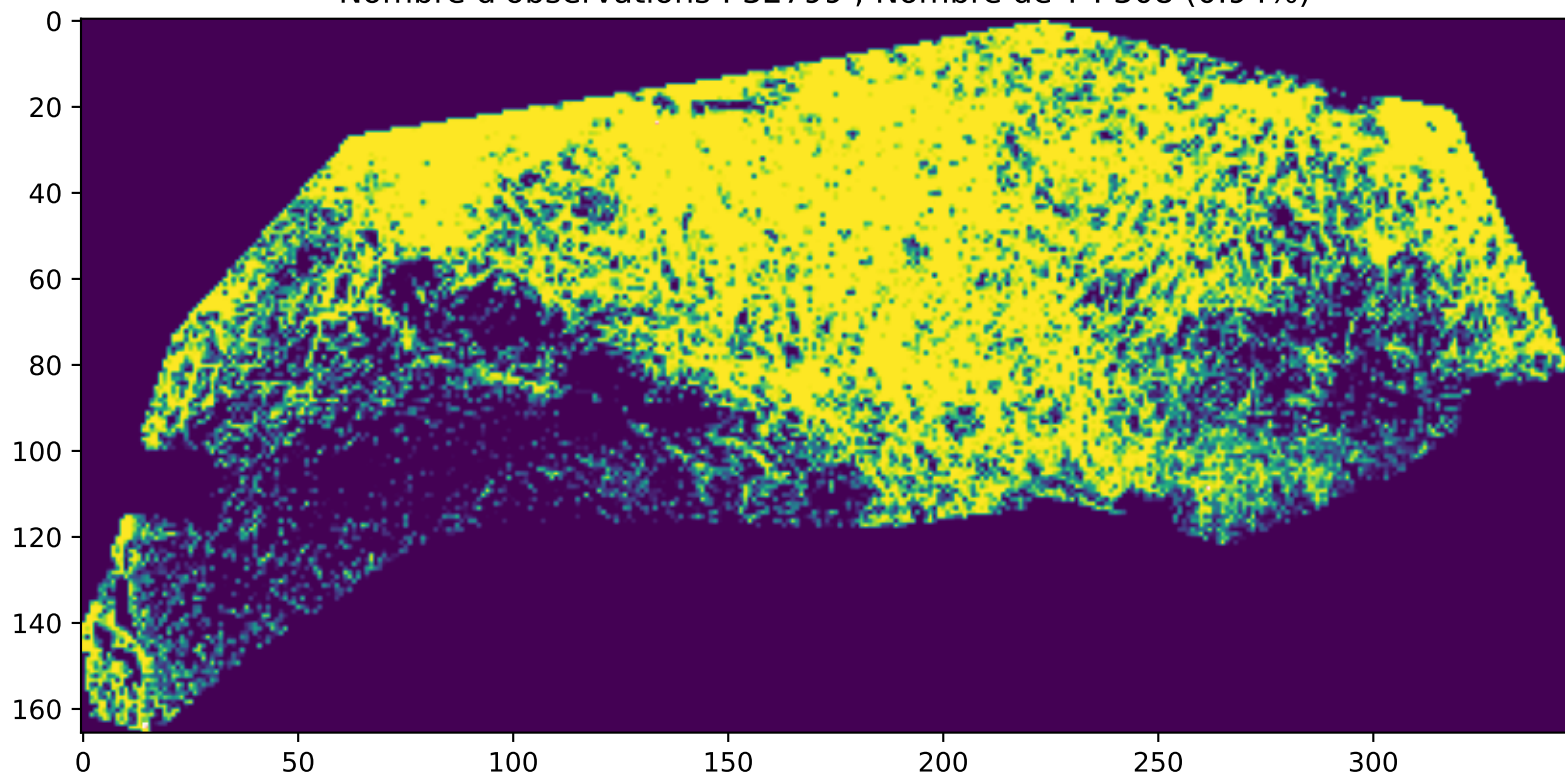


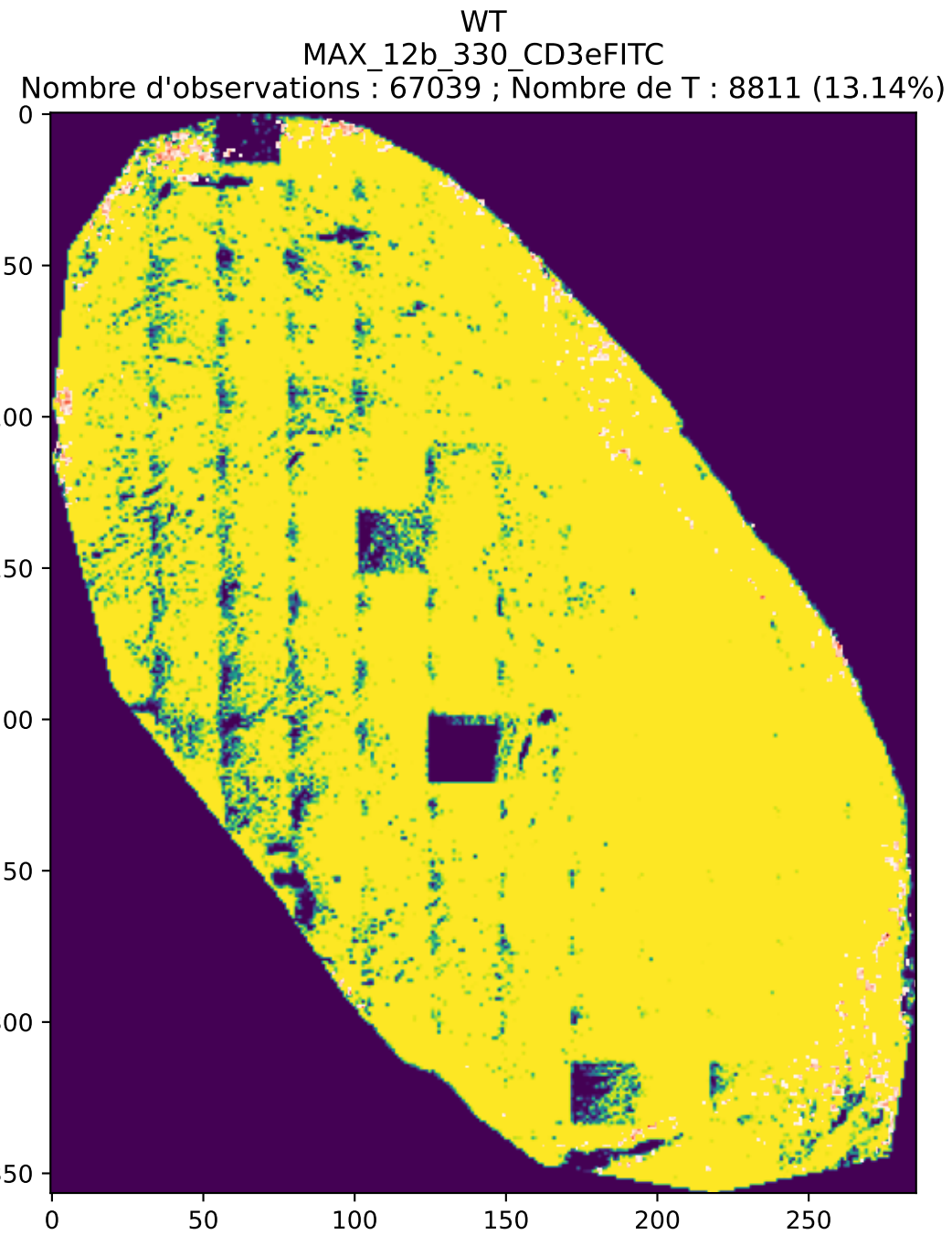


WT
12c_ZF_MAX_12c_MW137_CD3FITC_SHG
Nombre d'observations : 74488 ; Nombre de T : 1324 (1.78%)

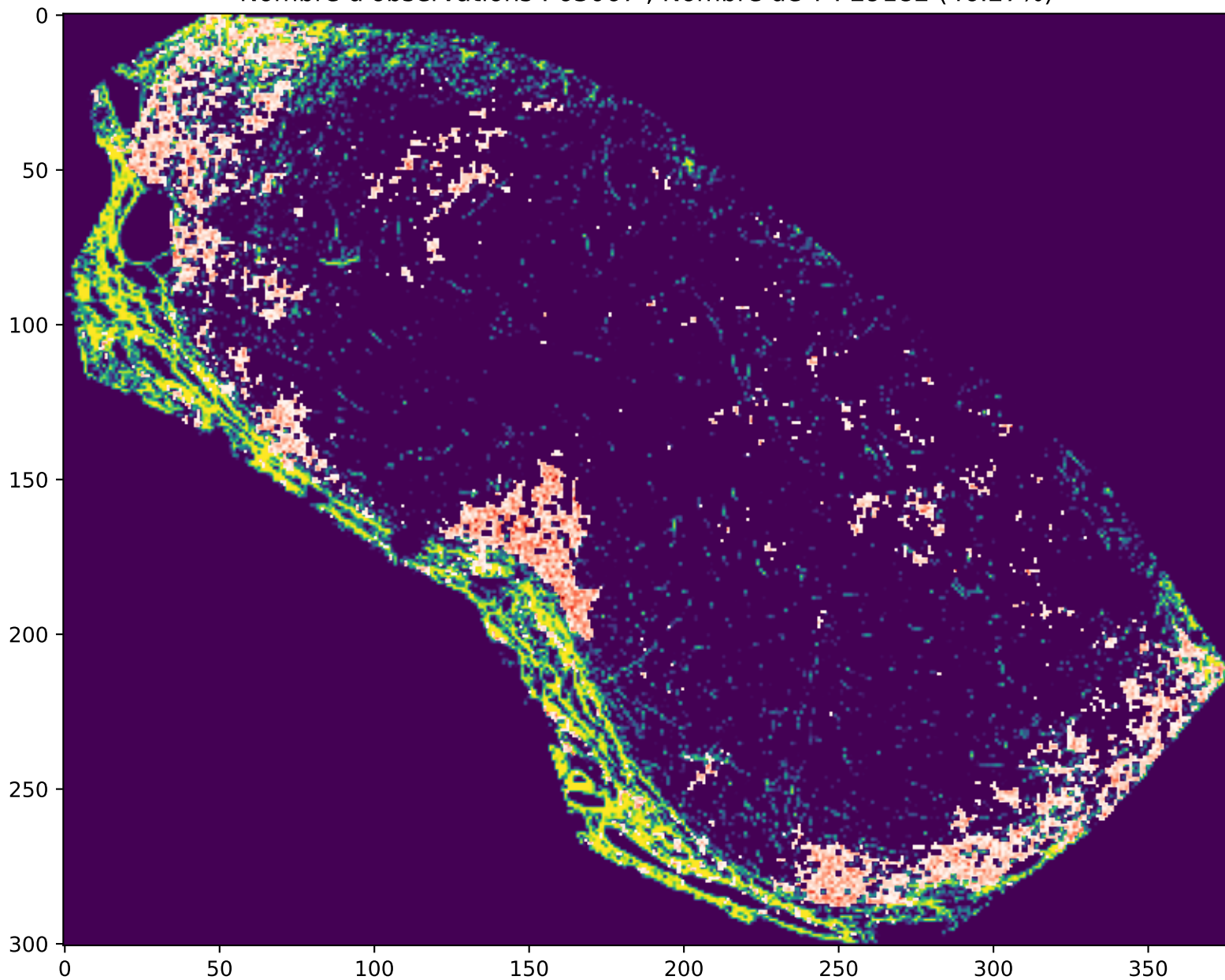


WT
MAX_MWT929_CD3_SHG
Nombre d'observations : 32799 ; Nombre de T : 308 (0.94%)



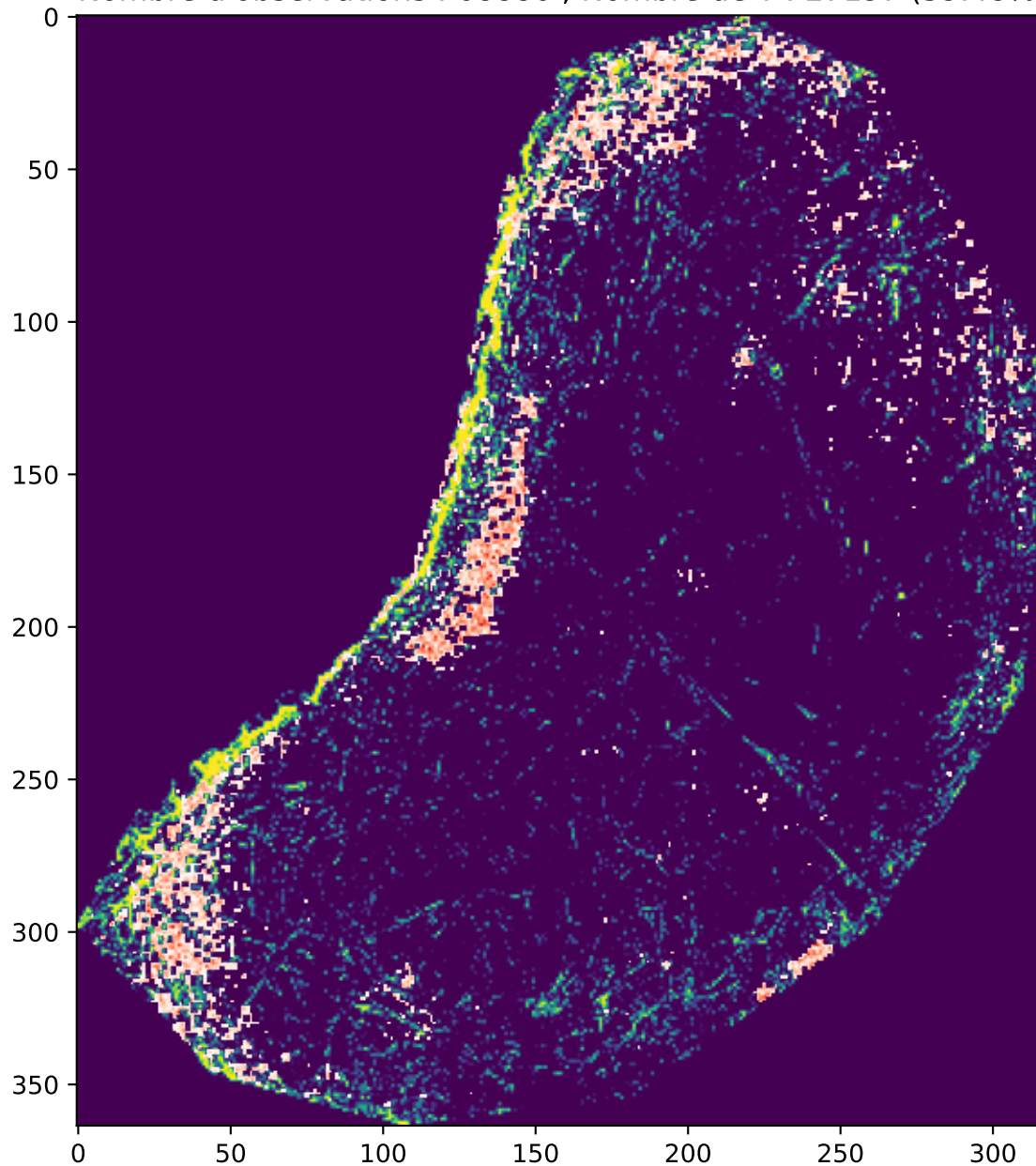


CD64-hDTR
MAX_12b_MKI183_CD3eFITC_SHG
Nombre d'observations : 63067 ; Nombre de T : 29182 (46.27%)

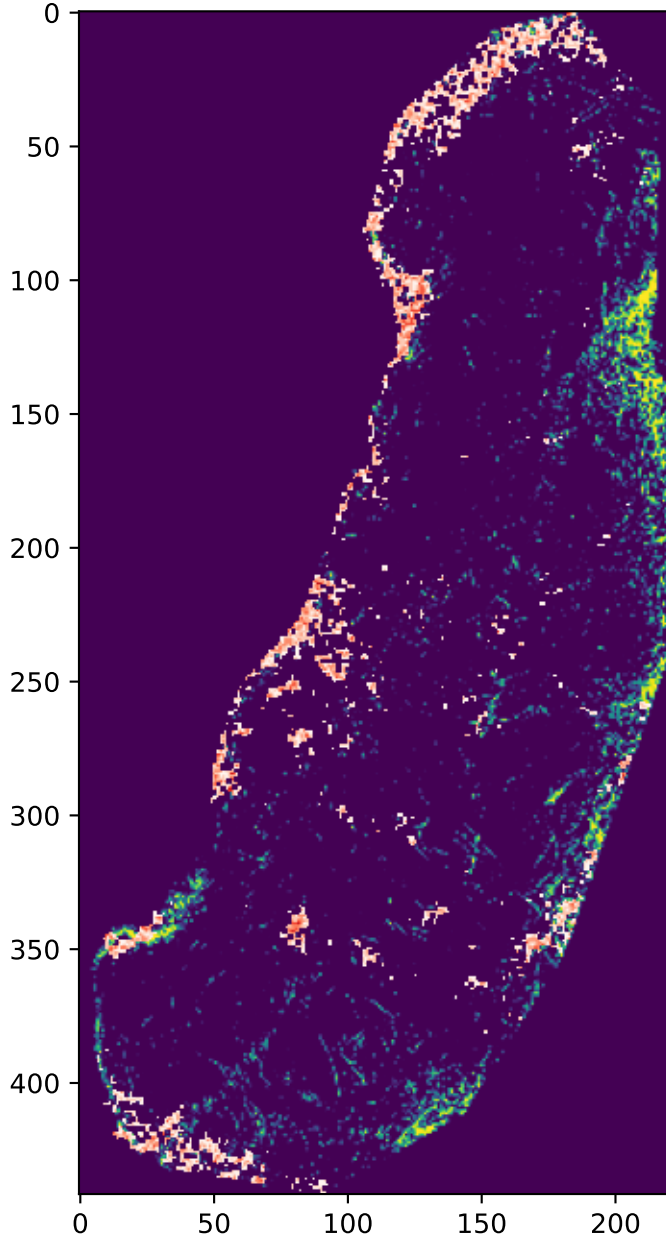


CD64-hDTR
MAX_12b_FKI192_CD3_SHG

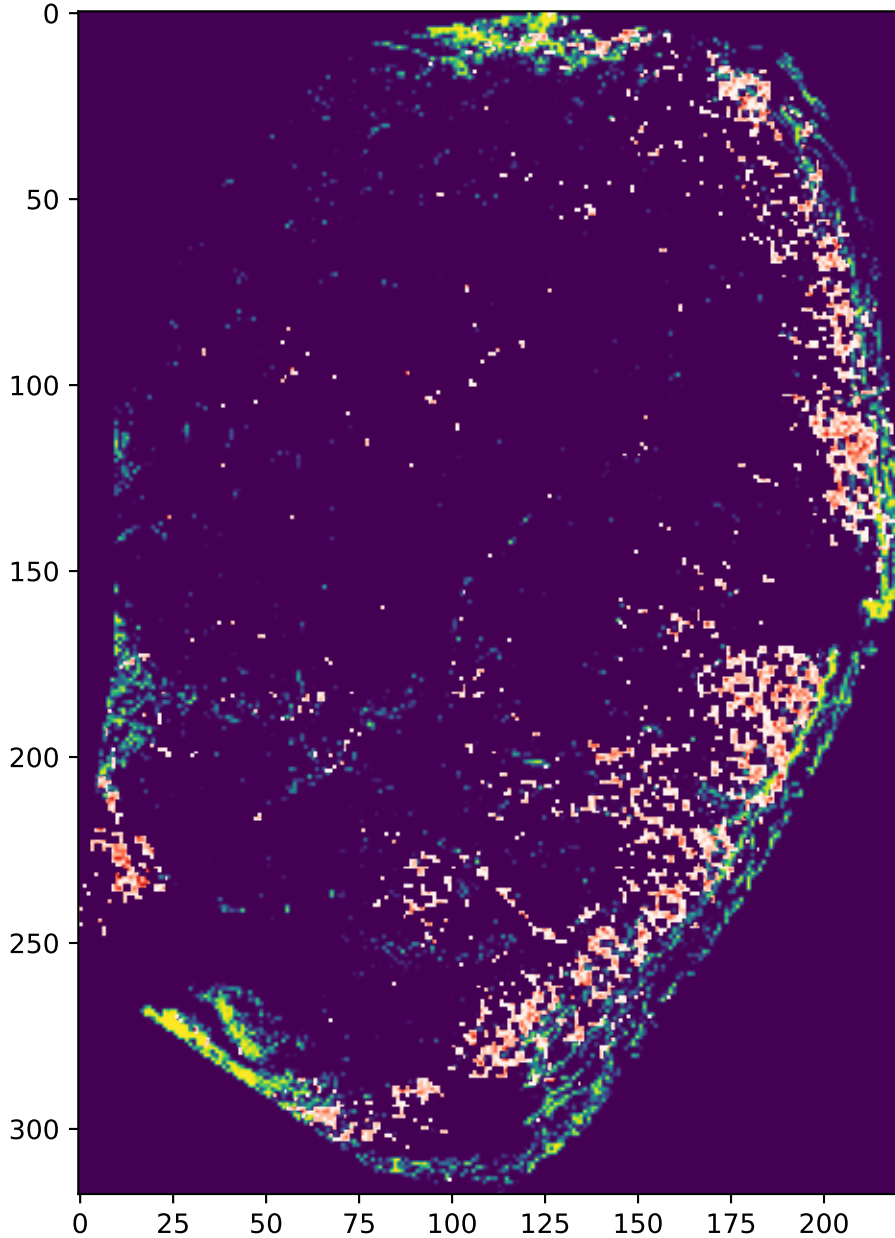
Nombre d'observations : 68886 ; Nombre de T : 27197 (39.48%)

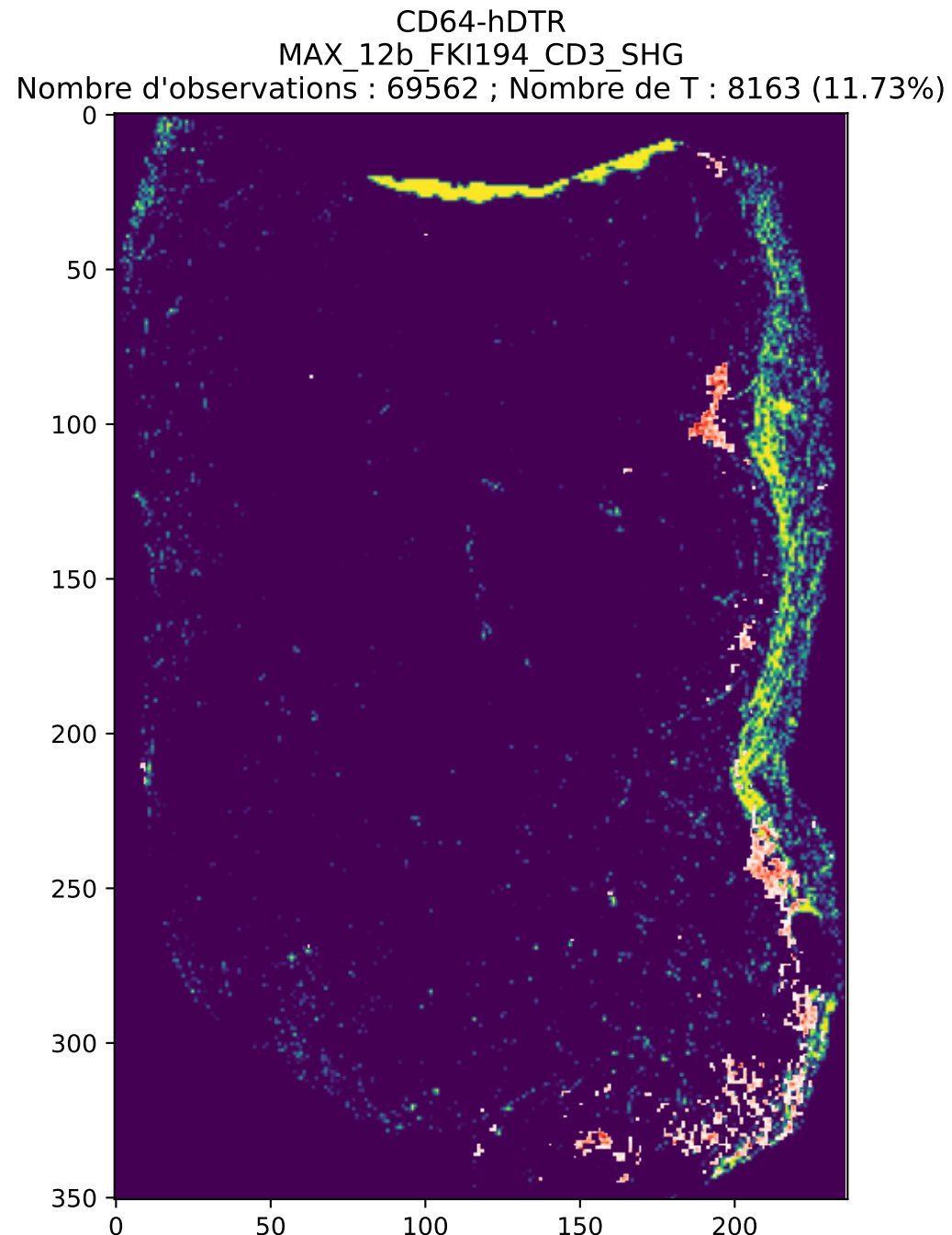


CD64-hDTR
MAX_12b_MKI185_CD3_SHG
Nombre d'observations : 55266 ; Nombre de T : 17017 (30.79%)

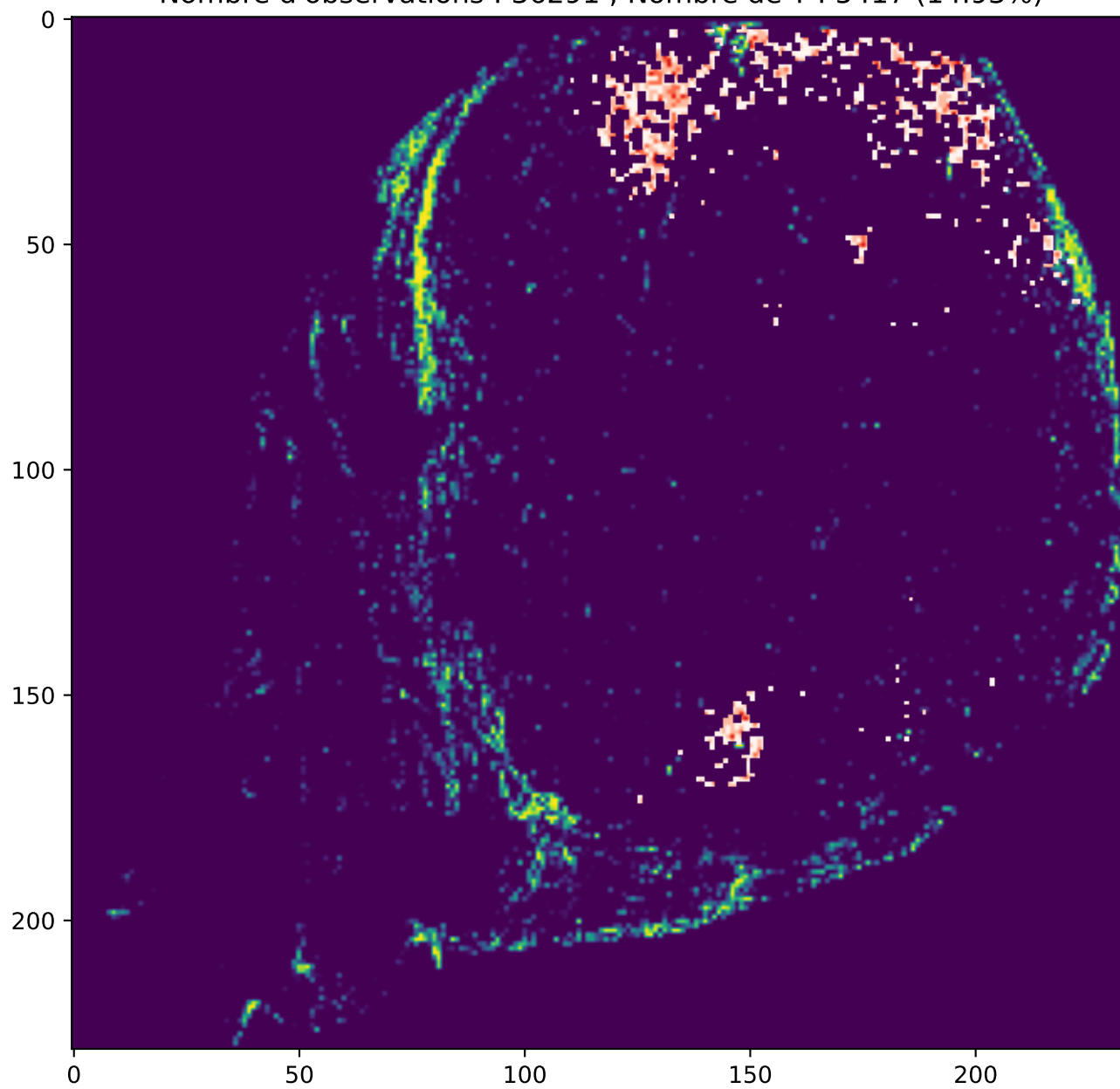


CD64-hDTR
MAX_12b_FKI332_CD3_SHG
Nombre d'observations : 53421 ; Nombre de T : 20427 (38.24%)



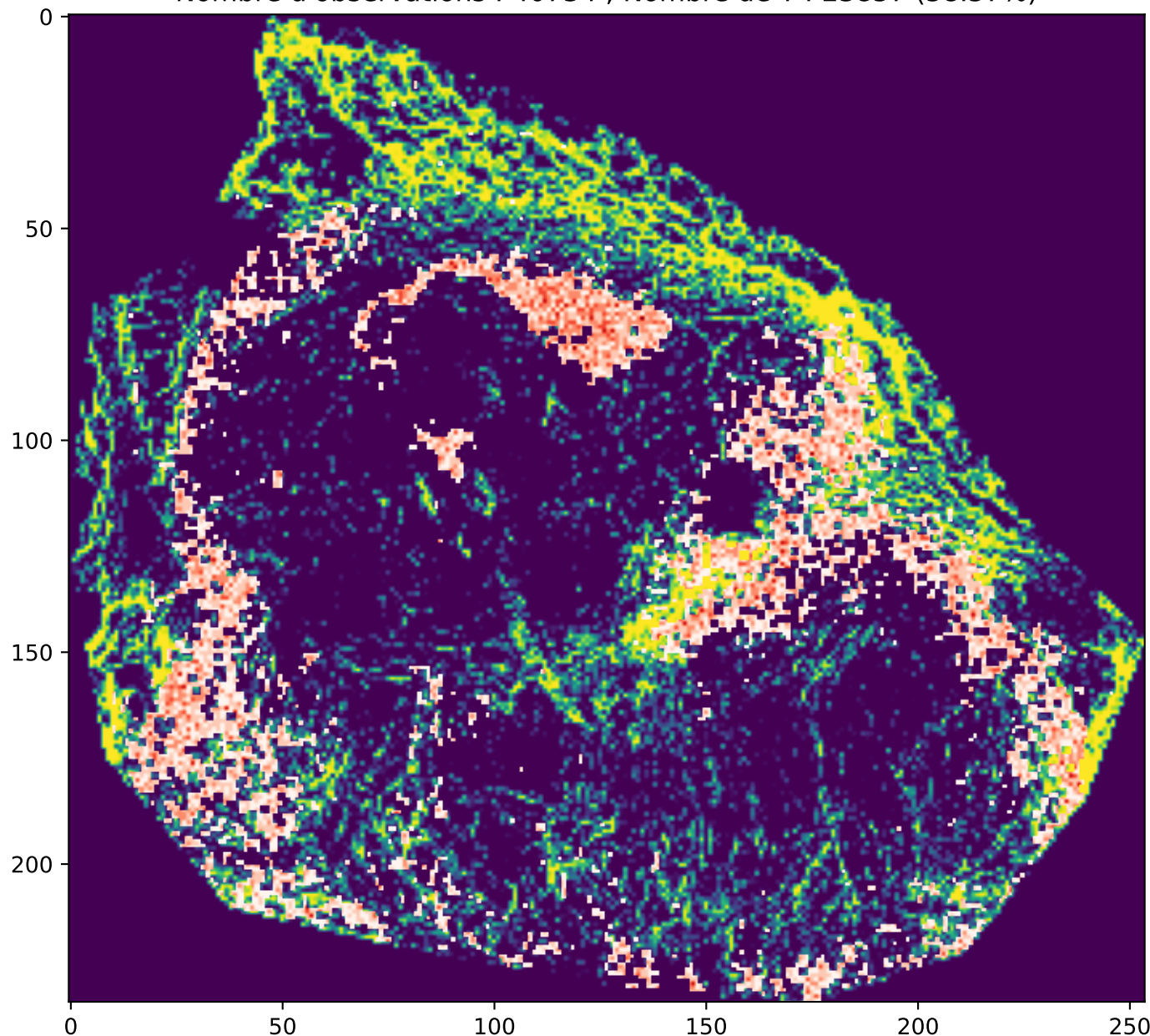


CD64-hDTR
MAX_12b_FKI193_CD3_SHG
Nombre d'observations : 36291 ; Nombre de T : 5417 (14.93%)

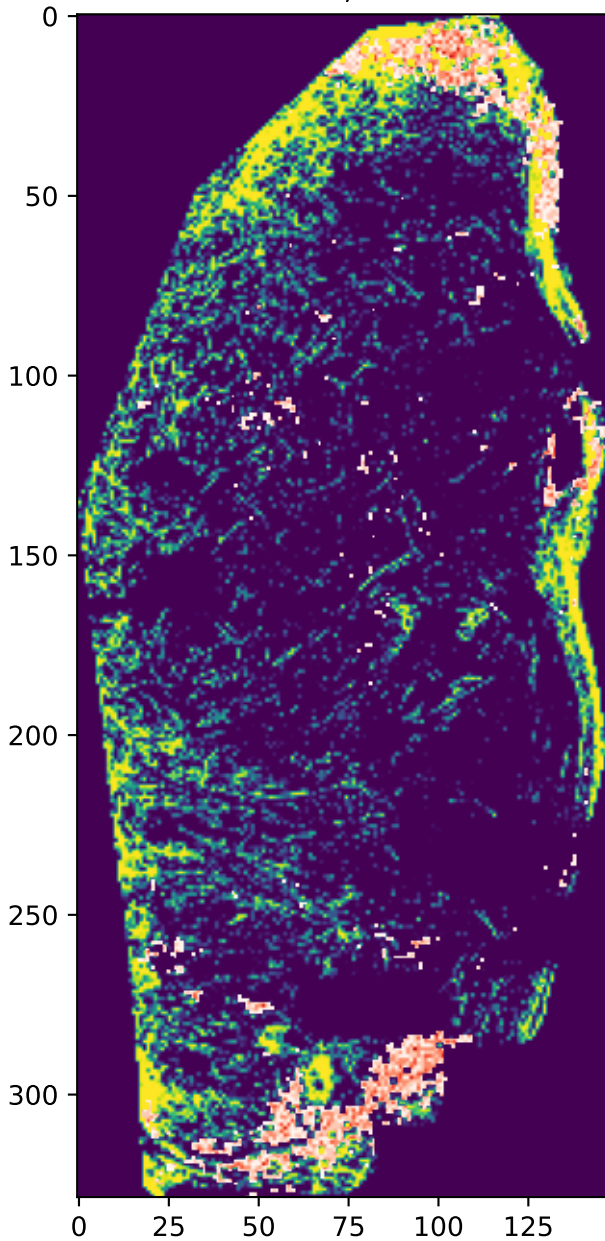


CD64-hDTR
MKI139_CD3eFITC_SHG

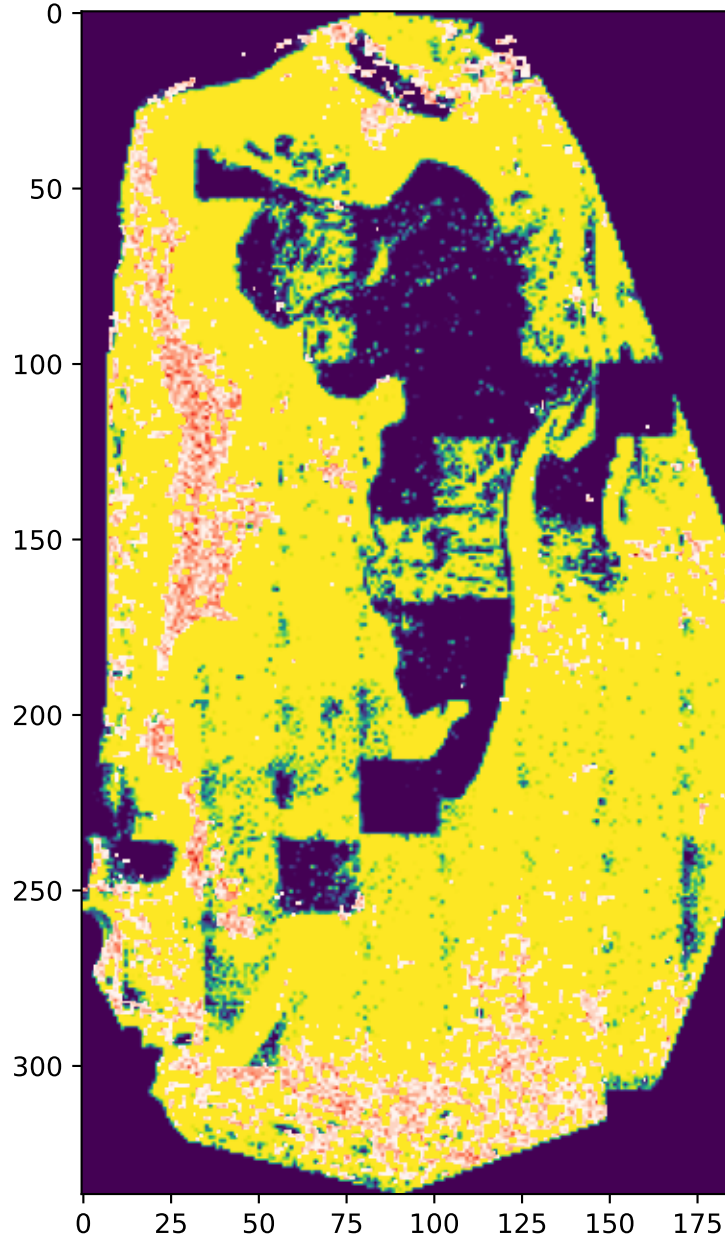
Nombre d'observations : 40734 ; Nombre de T : 23857 (58.57%)



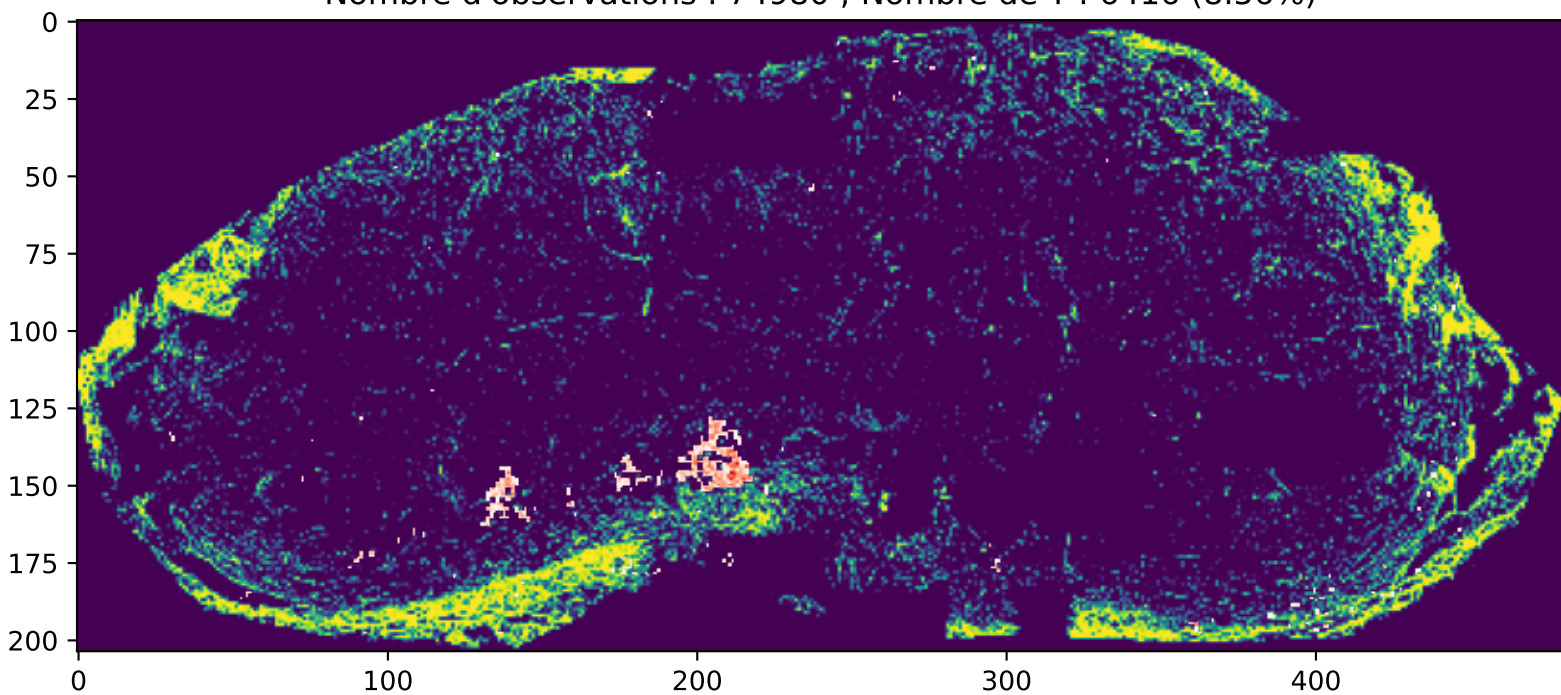
CD64-hDTR
12a_MKI152_CD3_SHG
Nombre d'observations : 37634 ; Nombre de T : 11293 (30.01%)



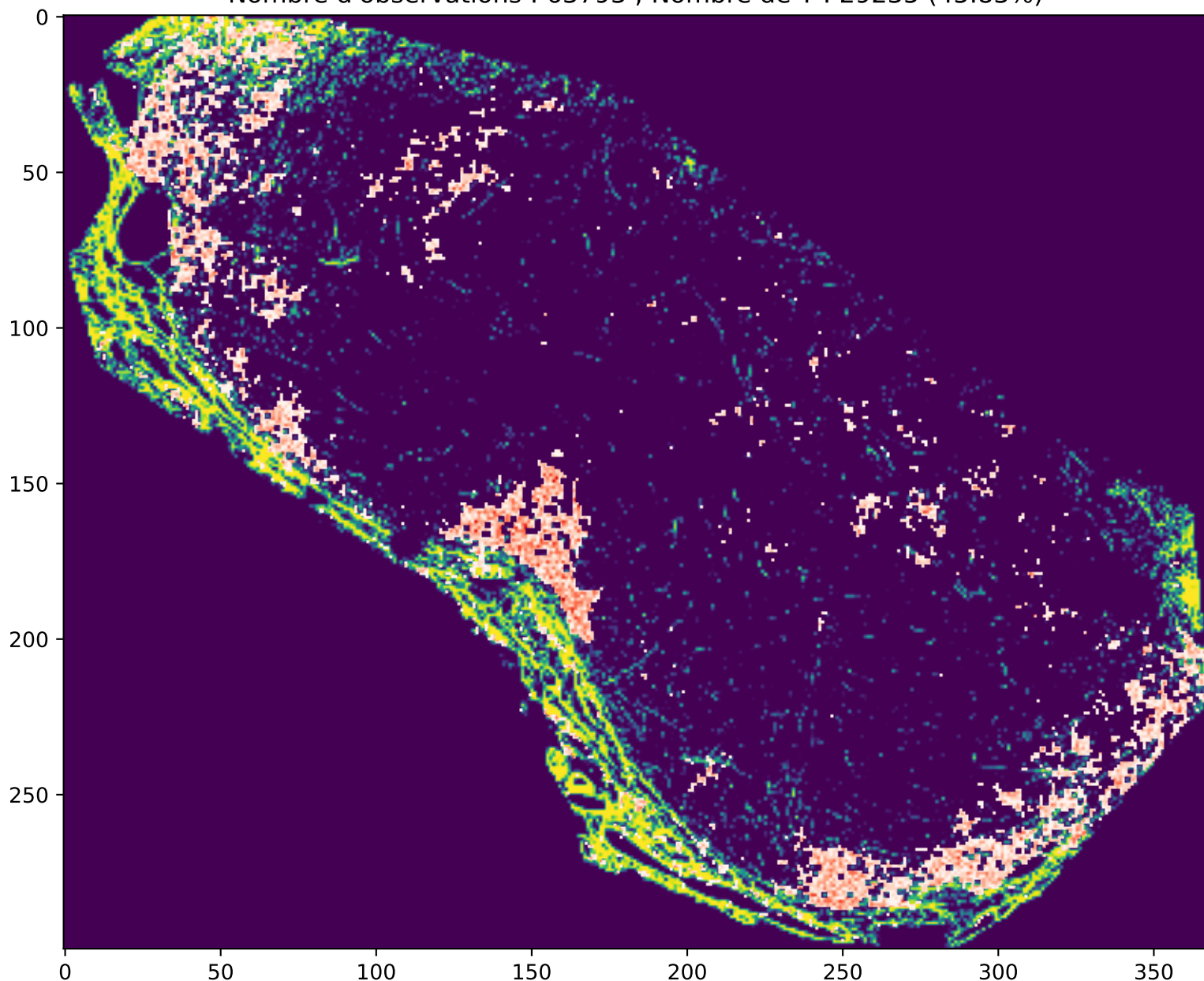
CD64-hDTR
MAX_12b_188_CD3eFITC
Nombre d'observations : 51229 ; Nombre de T : 28787 (56.19%)



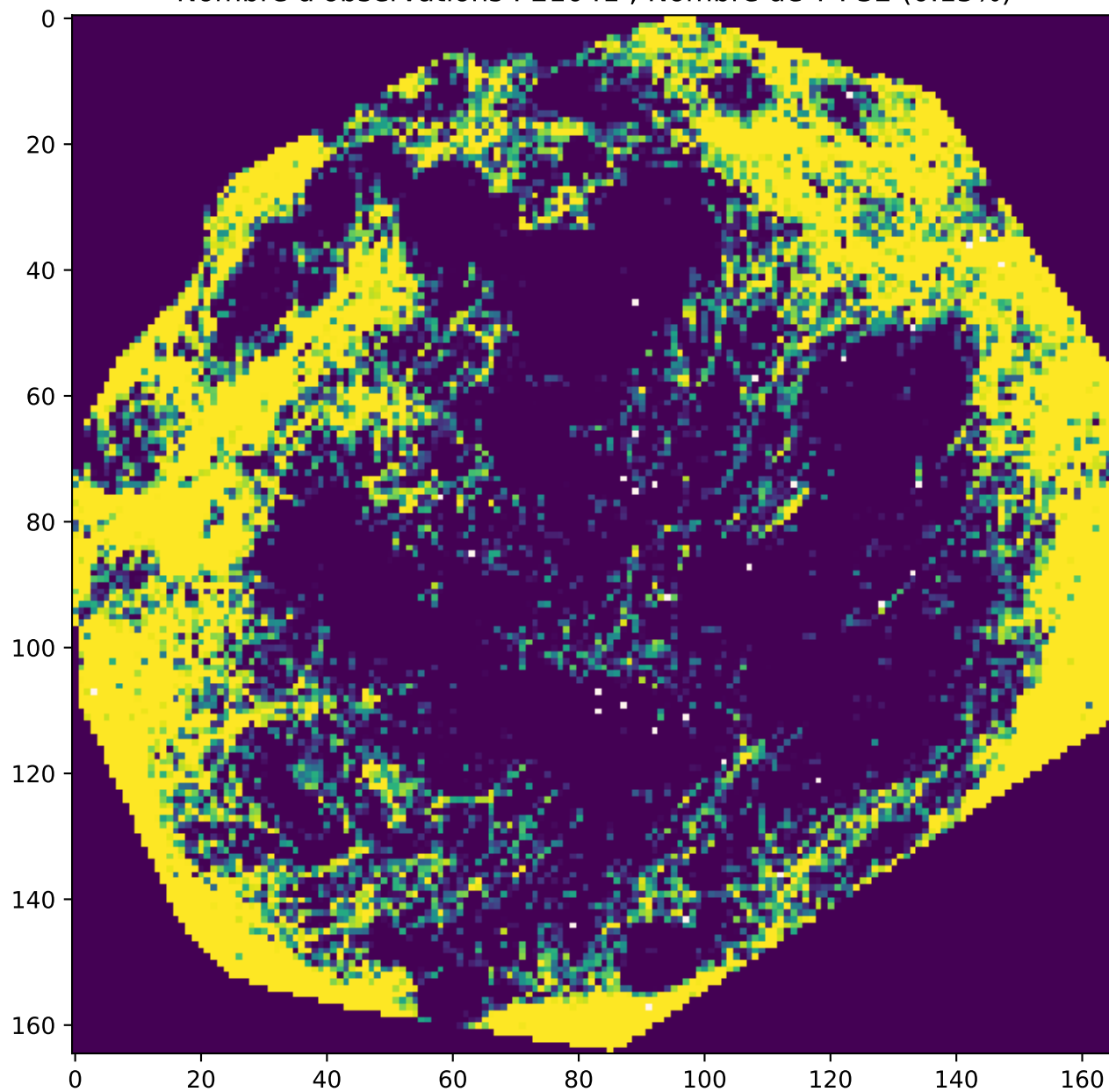
CD64-hDTR
12c_MKI138_CD3eFITC_SHG_phal546_F480647
Nombre d'observations : 74980 ; Nombre de T : 6416 (8.56%)



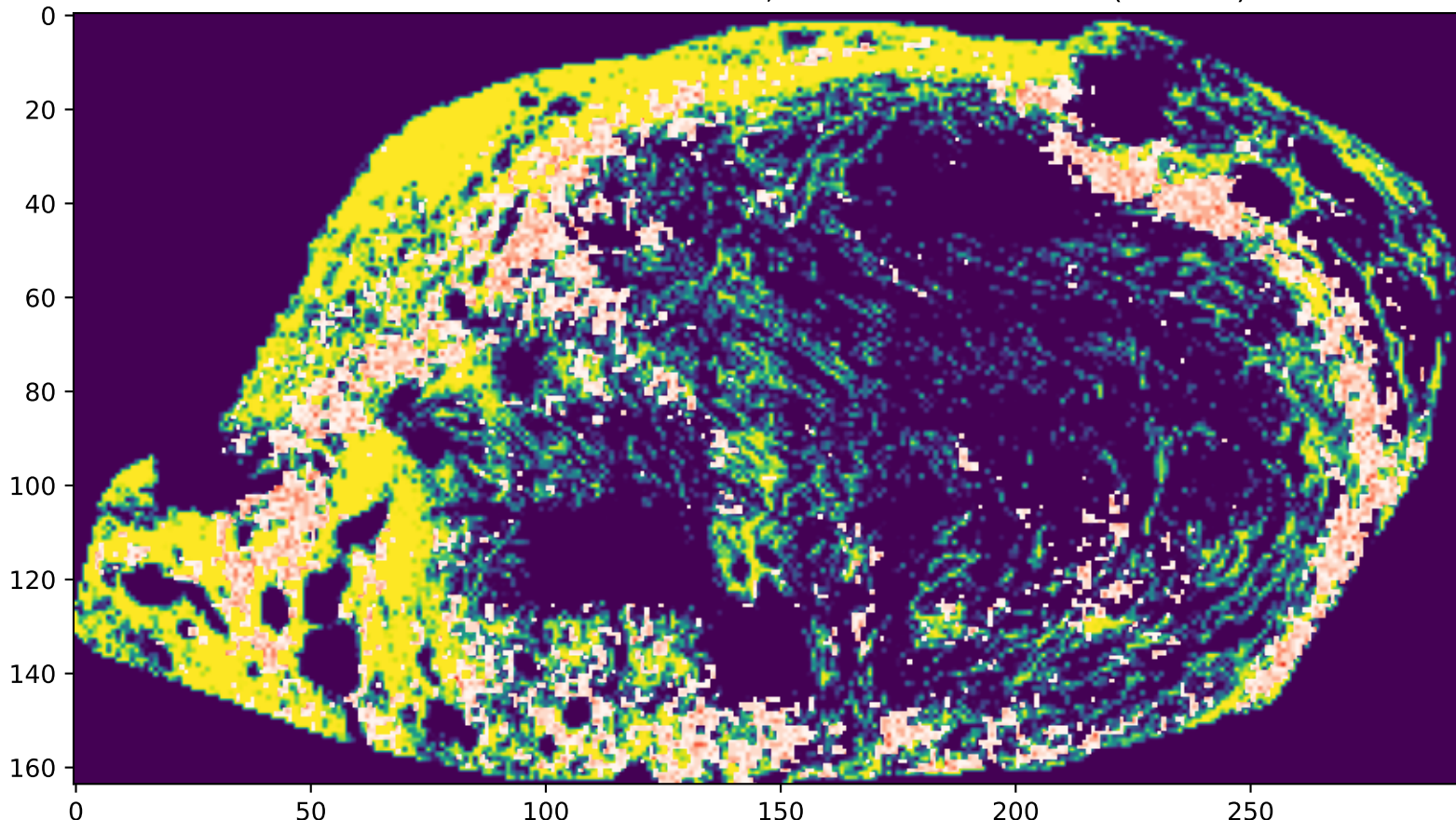
CD64-hDTR
MAX_12b_183_CD3eFITC_SHG
Nombre d'observations : 63793 ; Nombre de T : 29235 (45.83%)



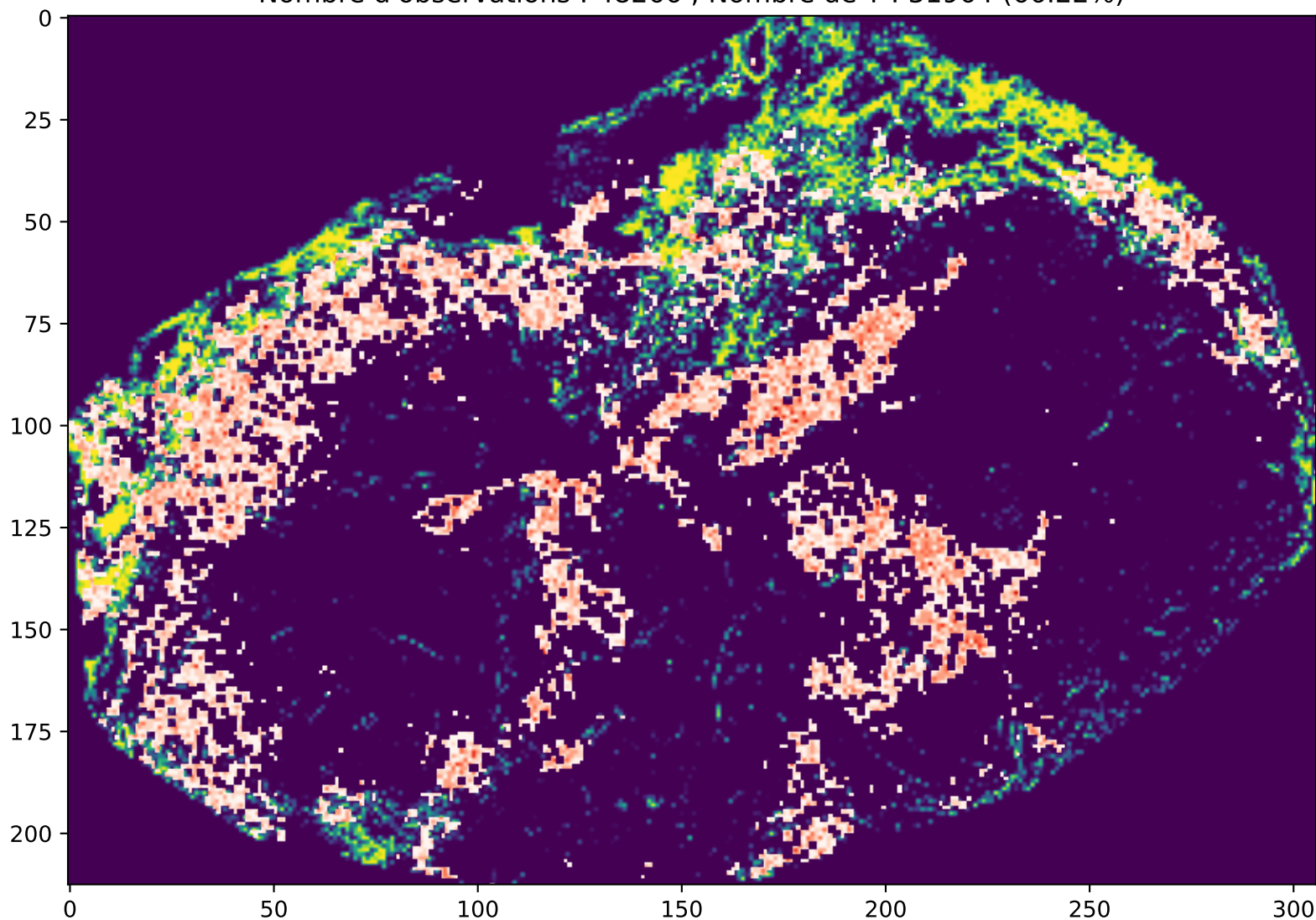
CD64-hDTR
MAX_12a_MKI353_CD3_SHG
Nombre d'observations : 21041 ; Nombre de T : 32 (0.15%)

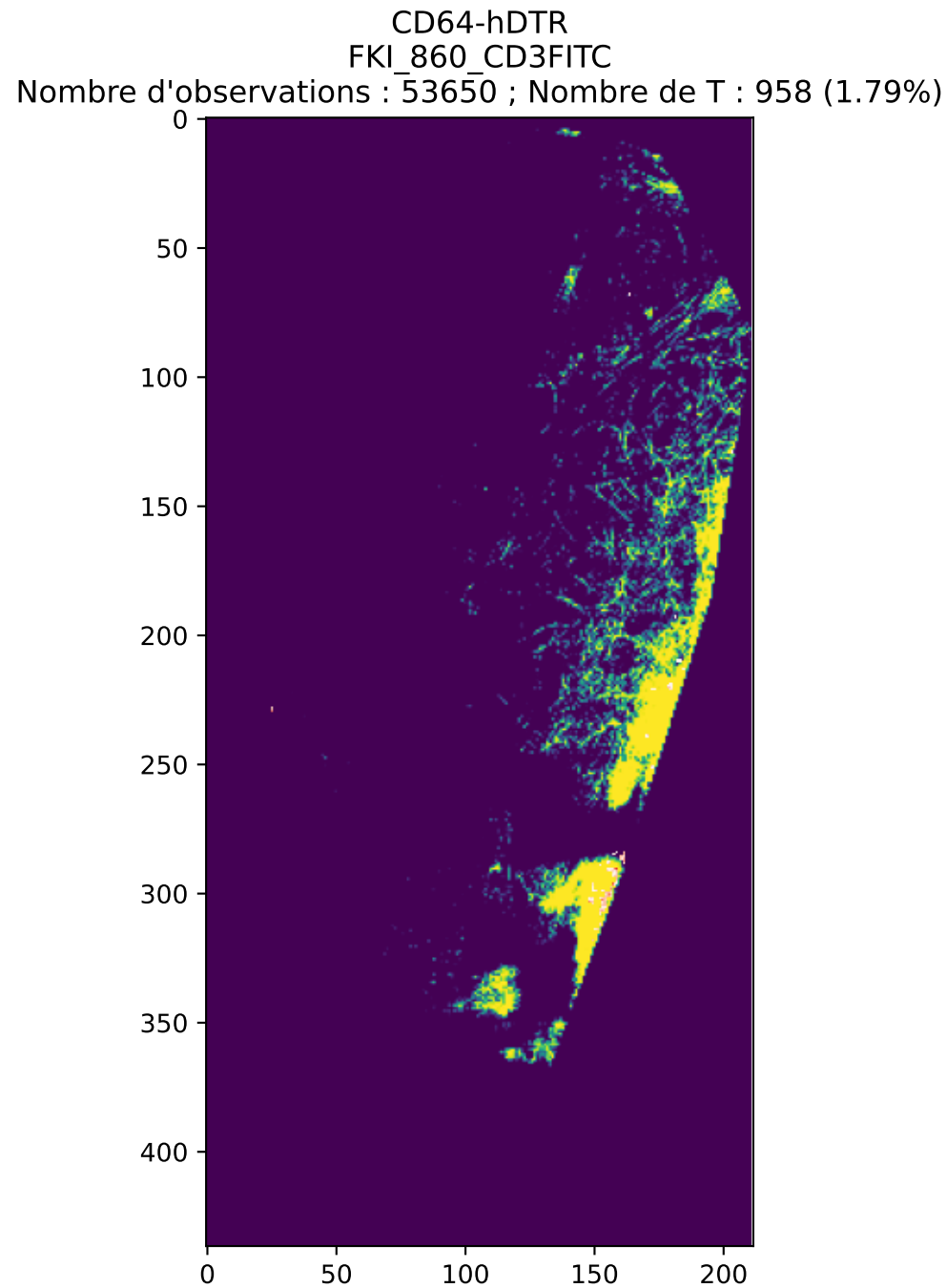


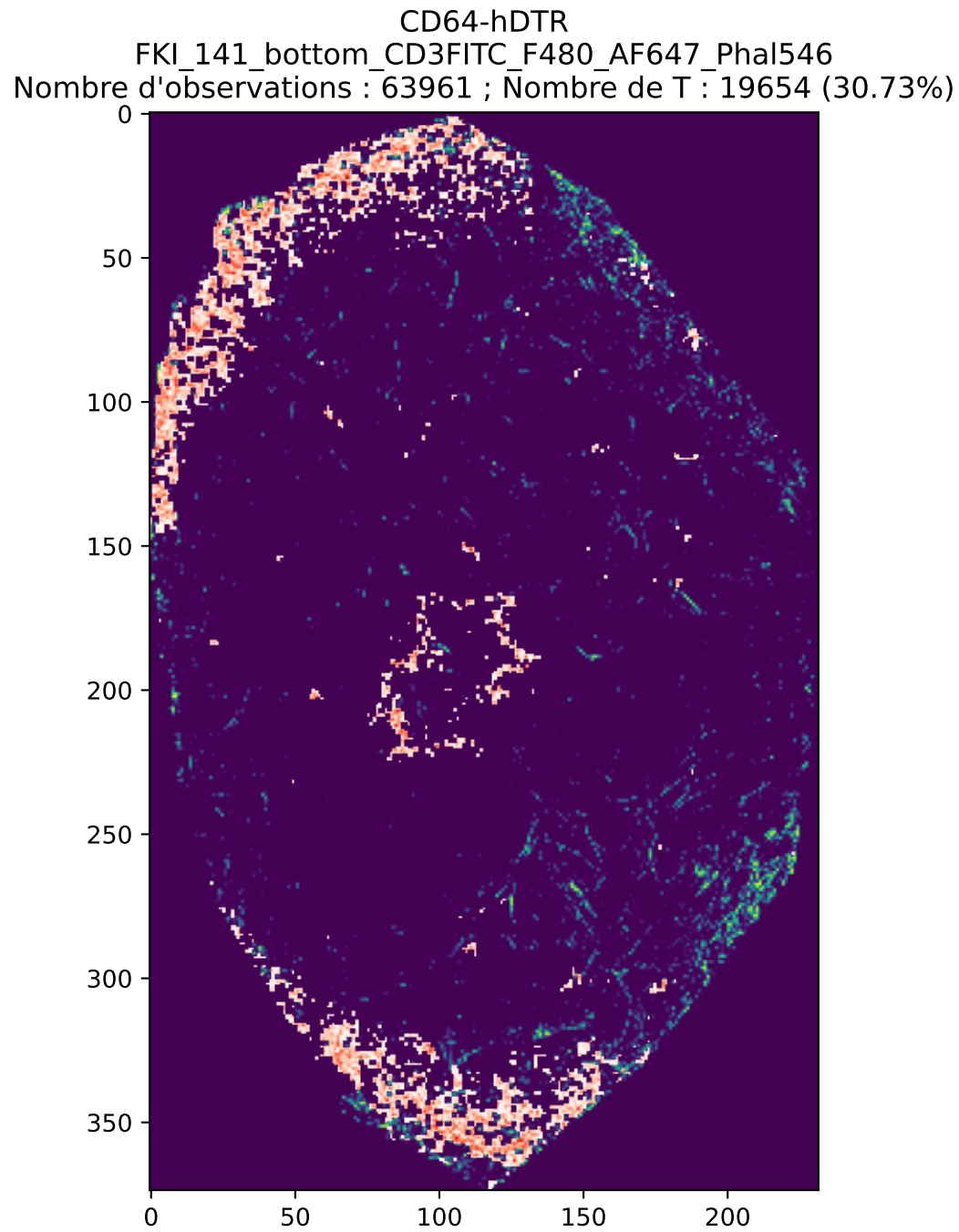
CD64-hDTR
MAX_12a_FKI158_CD3_SHG
Nombre d'observations : 36905 ; Nombre de T : 23477 (63.61%)



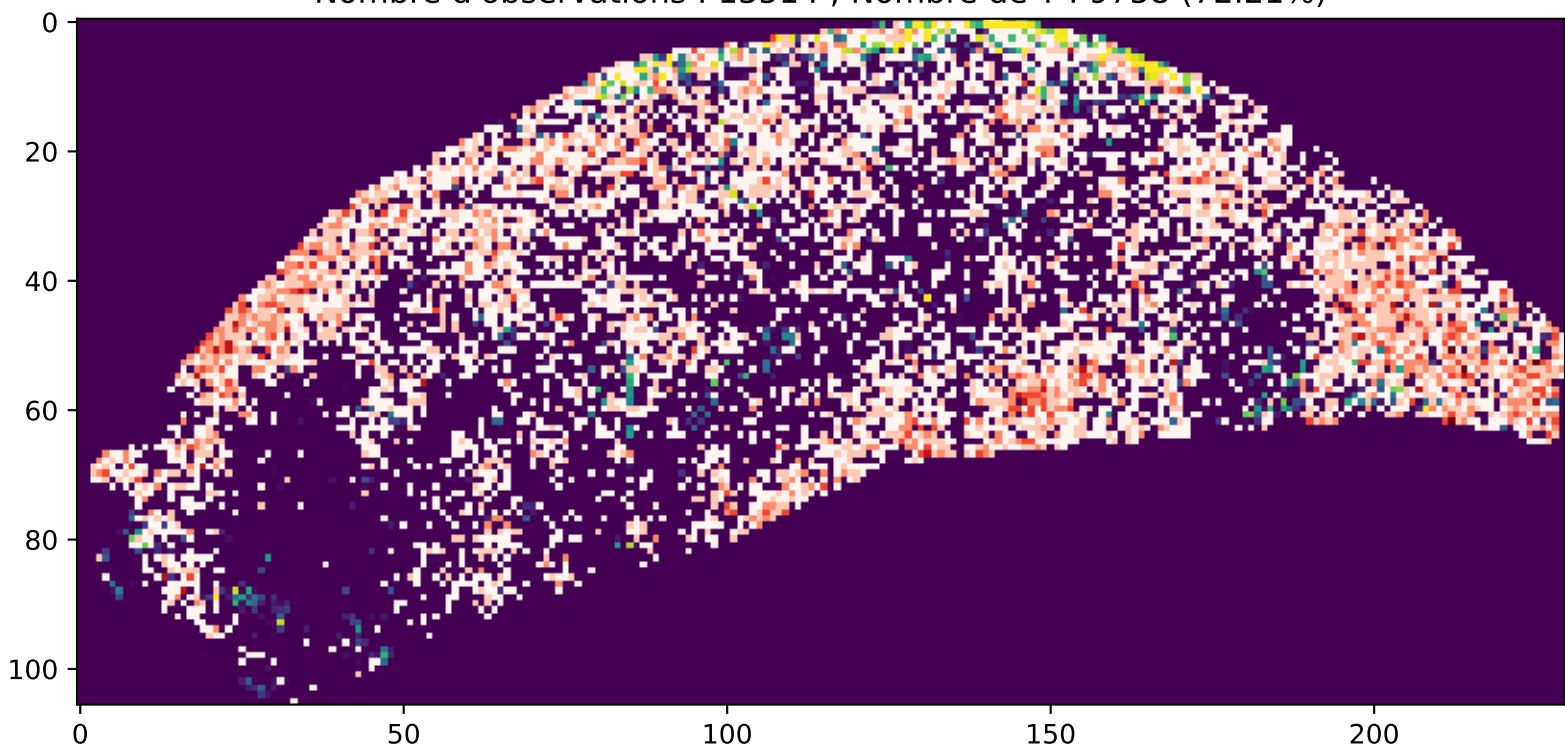
CD64-hDTR
FKI_860bis_left_CD3FITC
Nombre d'observations : 48266 ; Nombre de T : 31964 (66.22%)



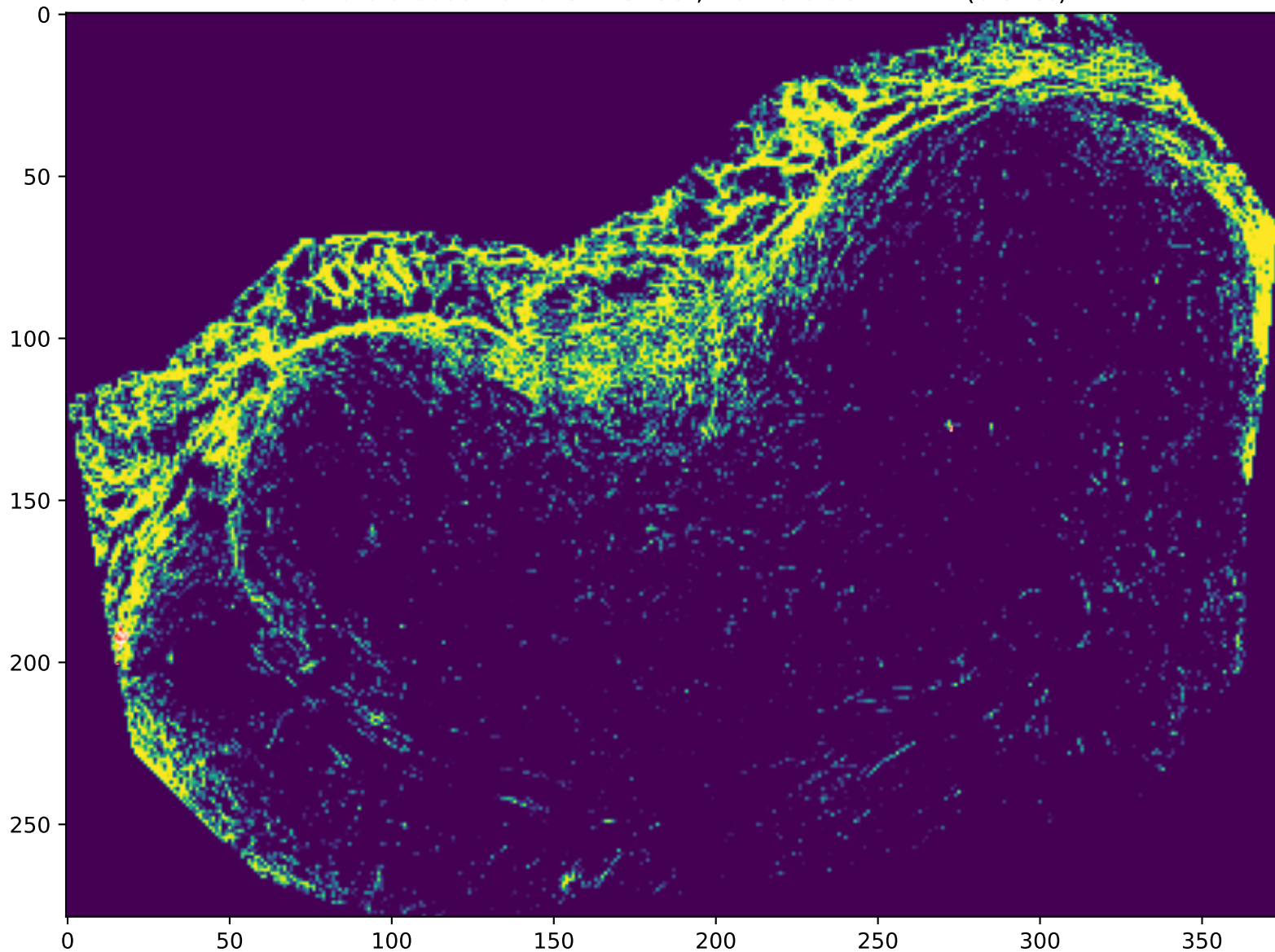




CD64-hDTR
FKI_140_left_bottom_CD3FITC
Nombre d'observations : 13514 ; Nombre de T : 9758 (72.21%)



CD64-hDTR
12c_ZF_MAX_12c_MKI857_CD3FITC_SHG
Nombre d'observations : 75733 ; Nombre de T : 277 (0.37%)



CD64-hDTR
12c_ZF_MAX_12c_MKI856_CD3FITC_SHG
Nombre d'observations : 84961 ; Nombre de T : 6008 (7.07%)

